

文章编号: 0258-5898 (2009) 10-1187-04

· 论著 ·

三氧化二砷诱导骨髓瘤细胞 JAK/STAT3 通路抑制作用的研究

王鸣明, 邹丽芳, 窦红菊, 朱琦, 任志宏, 胡钧培

(上海交通大学医学院第九人民医院血液内科 上海血液学研究所, 上海 200011)

摘要: 目的 研究三氧化二砷(As_2O_3)诱导人骨髓瘤细胞 U266、RPMI8226 细胞内 JAK/STAT3 信号转导通路抑制与细胞增殖之间存在的关系。方法 采用 MTT 法观察 As_2O_3 对骨髓瘤细胞作用的半数抑制浓度(IC_{50})，流式细胞技术检测 As_2O_3 作用前后细胞周期的改变情况，甲基化特异性 PCR 法检测 As_2O_3 作用前后骨髓瘤细胞内 SOCS-1 基因甲基化状态的变化，Western blotting 法检测 As_2O_3 作用前后磷酸化 STAT3 蛋白的表达差异。结果 As_2O_3 作用 72 h 后，骨髓瘤细胞 U266、RPMI8226 细胞内磷酸化 STAT3 蛋白表达水平明显降低，同时伴随 SOCS-1 基因启动子区 CpG 岛甲基化程度明显减弱至消失，细胞增殖发生 G₀/G₁ 期阻滞，上述三者变化均与 As_2O_3 浓度呈正相关($r = 0.85, P < 0.05$)。结论 As_2O_3 可诱导骨髓瘤细胞增殖受抑，与 As_2O_3 诱导细胞内 JAK/STAT3 信号转导通路抑制存在一定关系，且与细胞内 SOCS-1 基因甲基化状态改变相关。

关键词: 砷剂；骨髓瘤；SOCS-1 基因；JAK/STAT3；细胞周期

中图分类号: R733.3；R-33 文献标志码: A

Arsenic trioxide induced JAK/STAT3 pathway inhibition in myeloma cell lines

WANG Ming-ming, ZOU Li-fang, DOU Hong-ju, ZHU Qi, REN Zhi-hong, HU Jun-pei

(Department of Hematology, The Ninth People's Hospital, Shanghai Institute of Hematology, School of Medicine, Shanghai Jiaotong University, Shanghai 200011, China)

Abstract: Objective To explore the possible relationship between alteration of cell cycle and JAK/STAT3 signal transduction pathway inhibition induced by arsenic trioxide(As_2O_3) in myeloma cell lines U266 and RPMI8226 *in vitro*. Methods Multiple myeloma cell lines U266 and RPMI8226 were used as *in vitro* models. The influence of As_2O_3 on myeloma cells were evaluated by MTT assay and flow cytometry. Meanwhile, methylation specific PCR and Western blotting were employed to detect the methylation status of gene SOCS-1 and protein expression level of P-STAT3 in these cells after As_2O_3 treatment. Results As_2O_3 significantly inhibited the growth of U266 and RPMI8226 cells in a dose-dependent manner. Furthermore, cell cycle was arrested at G₀/G₁ phase with inhibition of protein expression level of P-STAT3 and SOCS-1 gene demethylation after exposure to As_2O_3 for 72 h ($r = 0.85, P < 0.05$). Conclusion As_2O_3 could induce the alteration of cell cycle which might be related to JAK/STAT3 signal transduction pathway inhibition and SOCS-1 demethylation in myeloma cell lines. The study puts forward a new idea of As_2O_3 treatment in multiple myeloma.

Key words: arsenic trioxide; myeloma; SOCS-1; JAK/STAT3; cell cycle

多发性骨髓瘤(multiple myeloma, MM)是血液系统常见的恶性克隆性浆细胞疾病,近年来,三氧化二砷(As_2O_3)在治疗难治性、复发性 MM 中成果喜人^[1]。目前认为, As_2O_3 的治疗作用与其诱导细胞凋亡、影响细胞信号转导相关^[2],具体治疗机制尚待进一步阐明。以骨髓瘤细胞株 U266、RPMI8226 作为体

外细胞模型研究 As_2O_3 作用前后,骨髓瘤细胞内蛋白酪氨酸激酶(Janus kinase,JAK)/信号转导子及转录激活子-3(signal transducer and activator of transcription,STAT3)通路的改变情况,初步探讨 As_2O_3 诱导的骨髓瘤细胞周期改变与 JAK/STAT3 通路抑制之间可能存在的关系。

基金项目: 上海交通大学医学院院基金课题(05XJ21023)(Shanghai Jiaotong University School of Medicine Foundation, 05XJ21023)。

作者简介: 王鸣明(1981—),女,住院医师,硕士;电子信箱: mingming.wang205198@gmail.com。

通讯作者: 胡钧培,电子信箱: hujunpei90@hotmail.com。

1 材料与方法

1.1 主要材料和试剂 AS₂O₃储存液(4℃保存, 上海血液学研究所惠赠); 5'-氮杂-脱氧胞苷酸(DAC)(Sigma-Aldrich); JAK2抑制剂AG490(Sigma-Aldrich); STAT3和磷酸化-STAT3(Tyr705)鼠单(Cell Signaling technology); 进行甲基特异性PCR(methylation specific PCR, MSP)检测的SOCS-1基因甲基化引物、基因非甲基化引物; 人B细胞淋巴瘤细胞Raji、人T细胞淋巴瘤细胞Jurkat、人骨髓瘤细胞U266、RPMI8226(上海血液学研究所惠赠); 健康成人外周血单个核细胞(PBMCs)标本作为正常对照。

1.2 方法

1.2.1 细胞分组: 以人骨髓瘤细胞U266、RPMI8226为多发性体外细胞模型, 分为对照组(AS₂O₃ 0 μmol/L)和AS₂O₃给药组(0.5、1.0、2.0 μmol/L)^[3]; DAC给药组^[4]作为去甲基化阳性对照; JAK2抑制剂AG490给药组^[4]作为细胞通路JAK-STAT3抑制的阳性对照。

1.2.2 MTT法检测AS₂O₃作用的IC₅₀^[3]: 细胞以5×10⁵/mL起始浓度接种于96孔培养板内, 与AS₂O₃作用72 h后检测光密度值($D_{492\text{ nm}}$), 抑制率=[(未处理组 $D_{492\text{ nm}}$ -处理组 $D_{492\text{ nm}}$)/未处理组 $D_{492\text{ nm}}$]×100%, 计算AS₂O₃抑制率和IC₅₀。

1.2.3 流式细胞技术检测细胞周期: 细胞以5×10⁵/mL起始浓度与不同浓度的AS₂O₃作用72 h后, 按流式试剂盒要求收集各组细胞, 于FCM上作细胞周期分析。

1.2.4 SOCS-1基因甲基化状态检测: MSP法检测上述各组细胞AS₂O₃处理前后SOCS-1基因的甲基化状态。按要求抽提基因组DNA(上海生工生物工程技术服务有限公司), 行DNA重亚硫酸钠变性纯化(Qiagen)后行MSP反应, 其中SOCS-1基因甲基化引物序列^[5]: 5'-TTCGCGTGTATTTTAGGTCCGGTC-3'(上游); 5'-CGACACAACTCCTACAACGACCG-3'(下游)。SOCS-1基因非甲基化引物序列: 5'-TTATGAGTATTTGTGTATTTTAGGTTGGTT-3'(上游), 5'-CACTAACACAACTCCTACAACAAACCA-3'(下游)。以GAPDH为内参进行MSP反应。

1.2.5 Western blotting检测磷酸化STAT3蛋白水平的变化: U266和RPMI8226经不同浓度AS₂O₃作用72 h后, 收集各组骨髓瘤细胞4×10⁶/mL, PBS清洗后加入蛋白抽提裂解液50 μL抽提细胞总蛋白, 冰浴15 min, 离心收集细胞总蛋白。蛋白提取物经定

量后, 30 μg上样至8%的SDS-聚丙烯酰胺凝胶, 电泳, 常规转膜。后者经5%脱脂奶粉封闭后, 分别与1:500稀释度的相应一抗(抗STAT3抗体、抗P-STAT3抗体)和适宜稀释度的二抗(羊抗鼠Ig-HRP)孵育, 经Odyssey显色系统显色, 收集蛋白印迹图像。

1.3 统计学处理 采用SAS 6.12软件进行统计学处理, 计量数据以 $\bar{x} \pm s$ 表示, AS₂O₃作用前后细胞周期变化采用方差分析。 $P < 0.05$ 表示差异有统计学意义。

2 结果

2.1 不同浓度AS₂O₃对骨髓瘤细胞增殖活力的影响

经AS₂O₃作用后, U266和RPMI8226细胞生长抑制明显, 增殖率与AS₂O₃剂量呈负相关($r = -0.95$, $P < 0.05$)。与对照组比较, 不同浓度AS₂O₃(0.5、1.0、2.0 μmol/L)对骨髓瘤细胞均有抑制作用($P < 0.05$)(表1)。其中, AS₂O₃作用于U266的IC₅₀为(1.62 ± 0.30) μmol/L, 作用于RPMI8226的IC₅₀为(2.23 ± 0.18) μmol/L。

表1 AS₂O₃对骨髓瘤细胞的抑制作用($\bar{x} \pm s, n=3, \%$)

Tab 1 Inhibition of AS₂O₃ on the growth and survival of multiple myeloma cell lines U266 and RPMI8226($\bar{x} \pm s, n=3, \%$)

Group	U266	RPMI8226
Control		
AS ₂ O ₃		
0.5 μmol/L	18.4 ± 0.32 ^①	12.2 ± 0.39 ^①
1.0 μmol/L	35.5 ± 0.17 ^①	27.8 ± 0.22 ^①
2.0 μmol/L	64.7 ± 0.30 ^①	45.2 ± 0.24 ^①

^① $P < 0.05$ vs control group

2.2 不同浓度AS₂O₃对骨髓瘤细胞周期的影响 在不同浓度的AS₂O₃作用下, 细胞周期G₀~G₁期发生阻滞, 与对照组比较, 呈现G₀~G₁期细胞增加, S期细胞减少, 细胞凋亡比例增加, 细胞周期改变呈现明显的AS₂O₃剂量依赖($P < 0.05$)(表2)。

2.3 AS₂O₃对MM细胞SOCS-1基因甲基化状态的影响 野生型骨髓瘤细胞株U266显示为SOCS-1基因完全甲基化, 野生型RPMI8226显示为SOCS-1基因半甲基化; AS₂O₃作用后, SOCS-1基因发生基因甲基化状态的改变, 随着AS₂O₃浓度的升高, SOCS-1基因甲基化条带逐渐消失, 非甲基化条带逐渐出现, 提示各组骨髓瘤细胞SOCS-1基因高甲基化状态已被逆转[SOCS-1基因甲基化阳性参照(Jurkat)、SOCS-1基因甲基化阴性参照(Raji)、健康成人作SOCS-1基因正常对照(PBMCs)和去甲基化阳性参照(DAC)](图1)。

表2 不同AS₂O₃浓度对骨髓瘤细胞周期的影响($\bar{x} \pm s, n=3, \%$)
Tab 2 Effects of AS₂O₃ on cell cycles of myeloma cell lines($\bar{x} \pm s, n=3, \%$)

Group	U266			RPMI8226		
	G ₀ - G ₁	S	G ₂ - M	G ₀ - G ₁	S	G ₂ - M
Control	18.23 ± 1.72	53.22 ± 1.86	28.55 ± 0.25	25.36 ± 2.52	54.30 ± 1.68	20.34 ± 1.55
AS ₂ O ₃						
0.5 μmol/L	24.96 ± 2.30 ^①	56.02 ± 1.96 ^①	19.02 ± 0.72 ^①	50.82 ± 0.87 ^①	42.87 ± 1.87 ^①	6.31 ± 0.67 ^①
1.0 μmol/L	57.32 ± 0.87 ^①	30.06 ± 2.40 ^①	12.62 ± 0.53 ^①	57.33 ± 0.48 ^①	30.75 ± 2.86 ^①	11.92 ± 0.50 ^①
2.0 μmol/L	52.38 ± 1.59 ^①	24.46 ± 0.56 ^①	23.16 ± 1.84 ^①	69.64 ± 1.75 ^①	24.26 ± 0.76 ^①	6.10 ± 1.30 ^①

^①P < 0.05 vs control group

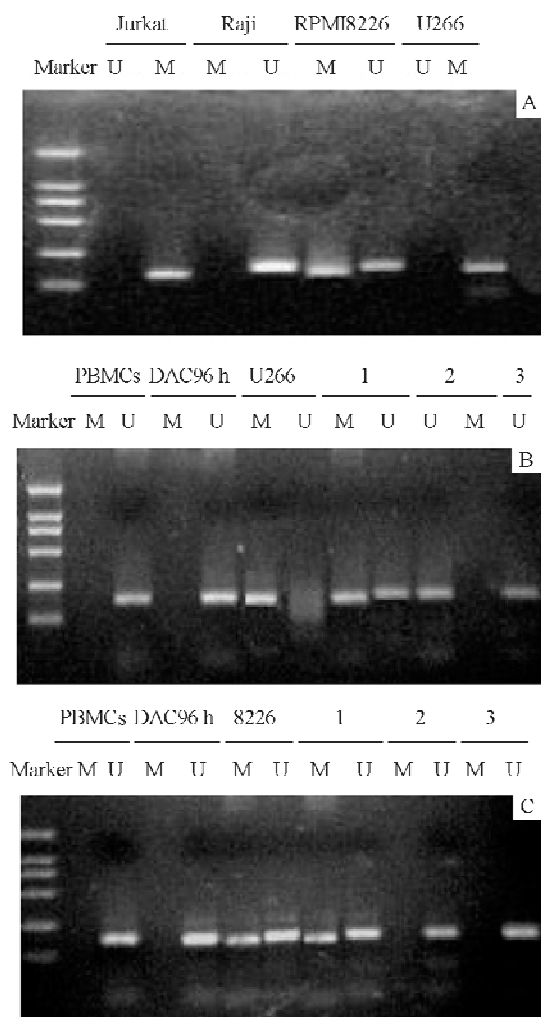


图1 AS₂O₃作用前后骨髓瘤细胞内SOCS-1基因的甲基化表达
Fig 1 SOCS-1 methylation status in myeloma cell lines before and after exposure to AS₂O₃

A: U266 presented SOCS-1 with complete hypermethylation, while RPMI8226 presented SOCS-1 with hemi-methylation in wild type; B: U266; C: RPMI8226; U: unmethylated; M: methylated; 1: 0.5 μmol/L AS₂O₃; 2: 1.0 μmol/L AS₂O₃; 3: 2.0 μmol/L AS₂O₃

2.4 AS₂O₃对磷酸化STAT3(P-STAT3)蛋白表达的影响 以与AG490 50 μmol/L共孵育1 h和24 h细胞组作P-STAT3蛋白表达的阴性对照,以STAT3蛋白表达水平作内参,经Western blotting检测发现,不

同浓度AS₂O₃(0、0.5、1.0和2.0 μmol/L)作用72 h后,骨髓瘤细胞U266和RPMI8226细胞内JAK/STAT3细胞通路P-STAT3蛋白表达水平明显降低(图2)。

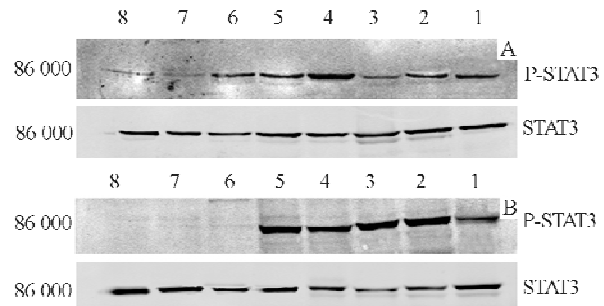


图2 不同浓度AS₂O₃作用于U266和RPMI8226后P-STAT3蛋白的表达
Fig 2 Expression of P-STAT3 protein after exposure of U266 and RPMI8226 to AS₂O₃

A: U266; B: RPMI8226; 1: control; 2: 1 h AG490(-); 3: 1 h AG490(+); 4: 24 h AG490(-); 5: 24 h AG490(+); 6: 0.5 μmol/L AS₂O₃; 7: 1.0 μmol/L AS₂O₃; 8: 2.0 μmol/L AS₂O₃

3 讨论

在MM的病理机制中,目前认为IL-6在支持MM细胞无序增殖和维持细胞去分化、去凋亡状态中起着重要作用^[6],而原癌基因表达STAT3则是IL-6受体Gp130介导的细胞生长分化的重要分子,P-STAT3具有促进细胞核内因子表达和细胞生长因子应答^[7],参与细胞增殖凋亡调控、信号转导和细胞恶性转化的作用。Galm等^[4]发现,肿瘤抑制基因SOCS-1基因甲基化频率在MM中高达62.9%,SOCS-1基因高甲基化失活,导致该基因对JAK/STAT3细胞信号转导通路^[5]抑制的解除,JAK/STAT3通路过度激活,P-STAT3水平异常升高,促使细胞增殖周期通过G₁限制点进入G₁期,同时细胞周期调节基因细胞周期素依赖激酶(cyclin dependent kinases, CDKs)上调、细胞周期蛋白D1、p21、p27基因上调^[8],细胞周期素

乱,凋亡减少。

近年来,研究^[9]发现,AS₂O₃在人体内代谢所需的甲基来自S-腺苷甲硫氨酸(s-adenosylmethionine,SAM),经DNA甲基转移酶(DNA methyltransferase,DNMT)代谢产生一甲砷酸或二甲砷酸,通过竞争甲基或选择性抑制DNMT,诱导细胞内出现缺甲基状态的产生,从而抑制细胞下游信号转导JAK/STAT3通路的失活,抑制肿瘤细胞恶性增殖。

我们的实验发现,在骨髓瘤细胞U266和RPMI8226内均存在JAK/STAT3细胞通路P-STAT3的异常活化和蛋白表达上调,在不同浓度AS₂O₃作用后,P-STAT3表达水平明显降低,细胞内SOCS-1基因甲基化程度明显降低至消失,细胞生长明显受抑,上述反应均与AS₂O₃药物浓度正相关。由此我们推测,AS₂O₃可能通过改变骨髓瘤细胞内SOCS-1基因的甲基化状态,开放SOCS-1基因对JAK/STAT3通路的抑制作用,逆转STAT3蛋白的异常表达,限制细胞周期通过G₁限制点,从而诱导细胞凋亡增加,肿瘤生长受到抑制。我们的实验还证明,0.5 μmol/L AS₂O₃作用于骨髓瘤细胞即可诱导P-STAT3蛋白表达下调,推测目前临床采用的AS₂O₃治疗剂量可在细胞蛋白水平上影响细胞内P-STAT3蛋白的表达,导致肿瘤细胞凋亡。上述结果为研究AS₂O₃治疗MM提供了一种新思路和新的分子研究靶点。

参考文献:

- [1] Hussein MA, Saleh M, Ravandi F, et al. Phase 2 study of arsenic trioxide in patients with relapsed or refractory multiple myeloma[J]. Br J Haematol, 2004, 125(4): 470–476.
- [2] Diaz Z, Laurenzana A, Mann KK, et al. Trolox enhances the anti-lymphoma effects of arsenic trioxide, while protecting against liver toxicity[J]. Leukemia, 2007, 21(10): 2117–2127.
- [3] 傅海英, 沈建箴, 沈松菲, 等. 巢式MSP检测砷剂诱导人多发性骨髓瘤U266细胞系p16基因去甲基化及转录[J]. 中国实验血液学杂志, 2007, 15(1): 79–85.
- [4] Galm O, Yoshikawa H, Esteller M, et al. SOCS-1, a negative regulator of cytokine signaling, is frequently silenced by methylation in multiple myeloma[J]. Blood, 2003, 101(7): 2784–2788.
- [5] Yoshikawa H, Matsubara K, Qian GS. SOCS-1, a negative regulator of the JAK/STAT pathway, is silenced by methylation in human hepatocellular carcinoma and shows growth-suppression activity[J]. Nat Genet, 2001, 28(1): 29–35.
- [6] Bauer K, Kretzschmar AK, Cvijic H, et al. Cyclophilins contribute to Stat3 signaling and survival of multiple myeloma cells[J]. Oncogene, 2009, 28(31): 2784–2795.
- [7] Heinrich PC, Behrmann I, Haan S, et al. Principles of interleukin (IL)-6-type cytokine signalling and its regulation[J]. Biochem J, 2003, 374(Pt 1): 1–20.
- [8] 王杉, 马向涛, 杜如昱, 等. Stat3信号传导通路对结肠癌细胞G1~S期的调控[J]. 北京大学学报: 医学版, 2003, 35(1): 50–53.
- [9] Gui X, Wakai T, Shirai Y, et al. Arsenic trioxide inhibits DNA methyltransferase and restores methylation-silenced genes in human liver cancer cells[J]. Hum Pathol, 2006, 37(3): 298–311.

收稿日期: 2009-03-04

本文编辑: 周珠凤

(上接第 1177 页)

- [3] Mildner M, Weninger W, Trautinger F, et al. UVA and UVB radiation differentially regulate vascular endothelial growth factor expression in keratinocyte-derived cell lines and in human keratinocytes [J]. Photochem Photobiol, 1999, 70(4): 674–679.
- [4] Kuroda K, Sapadin A, Shoji T, et al. Altered expression of angiopoietins and Tie2 endothelium receptor in psoriasis [J]. J Invest Dermatol, 2001, 116(5): 713–720.
- [5] 邓辉, 袁定芬, 阎春林. 光化学疗法对内皮细胞明胶酶表达的影响[J]. 上海交通大学学报(医学版), 2007, 27(1): 79–81.
- [6] Dechend R, Luft FC. Angiogenesis factors and preeclampsia[J]. Nat Med, 2008, 14(11): 1187–1188.

- [7] Kwon OS, Yoo HG, Han JH, et al. Photoaging-associated changes in epidermal proliferative cell fractions *in vivo* [J]. Arch Dermatol Res, 2008, 300(1): 47–52.
- [8] Avraamides CJ, Carmy-Susini B, Varner JA. Integrins in angiogenesis and lymphangiogenesis [J]. Nat Rev Cancer, 2008, 8(8): 604–617.
- [9] Chan PG, Chen SY, Chen CH, et al. Crosstalk between hepatocyte growth factor and integrin signaling pathways [J]. J Biomed Sci, 2006, 13(2): 215–223.
- [10] Streuli CH. Integrins and cell-fate determination [J]. J Cell Sci, 2009, 122(Pt 2): 171–177.

收稿日期: 2009-04-08

本文编辑: 朱宝渊